

# Импульсное и монохроматическое возбуждение полупроводниковых квантовых ям в условиях размерного квантования

© И.Г. Ланг<sup>1</sup>, С.Т. Павлов<sup>2</sup>

<sup>1</sup> Физико-технический институт им. А.Ф. Иоффе РАН, Санкт-Петербург, Россия

<sup>2</sup> Физический институт им. П.Н. Лебедева, РАН, Москва, Россия

E-mail: langirina@rambler.ru

(Поступила в Редакцию 9 ноября 2009 г.)

Вычислены коэффициенты отражения и поглощения света квантовыми ямами, ширина которых сравнима с длиной световой волны. Учитывается разность коэффициентов преломления веществ ямы и барьеров. Рассматривается импульсное облучение при произвольной форме возбуждающего импульса. Предполагается существование двух близко расположенных дискретных уровней возбуждения. Такая пара уровней может соответствовать двум магнетополяронным состояниям в квантующем магнитном поле, перпендикулярном плоскости ямы. Соотношение величин нерадиационного и радиационного затуханий электронных возбуждений произвольно. Окончательные результаты получены без использования приближения, в рамках которого кулоновское взаимодействие электронов и дырок считается пренебрежимо малым.

## 1. Введение

При монохроматическом или импульсном световом облучении квантовых ям в отраженной и прошедшей световых волнах появляются характерные особенности, по которым можно судить об электронном спектре и временах жизни возбужденных состояний [1–4]. Наиболее интересные результаты получаются в том случае, когда уровни энергии электронной системы дискретны. Это имеет место в квантующем магнитном поле, направленном перпендикулярно плоскости квантовой ямы, либо при учете экситонных состояний в нулевом магнитном поле.

Нас будет интересовать случай двух близко расположенных уровней возбуждений, поскольку при импульсном облучении возникает эффект осцилляций интенсивности отраженного и проходящего света на частотах, близких к разности энергий двух уровней [5]. Два близко расположенных уровня возникают, в частности, в случае магнетофононного резонанса [6], когда выполняется условие

$$\omega_{\text{LO}} = j\omega_{e(h)H}, \quad (1)$$

где  $\omega_{\text{LO}}$  — частота продольного оптического (LO) фонона,  $e$  — заряд электрона,  $\omega_{e(h)H} = |e|H/cm_{e(h)}$  — циклотронная частота,  $m_{e(h)}$  — эффективная масса электрона (дырки),  $H$  — магнитное поле. Число  $j$  может быть как целым, что соответствует „классическому“ магнетополярону, так и дробным (ослабленный магнетополярон) [7,8].

В случае квантовой ямы высокого качества радиационное уширение  $\gamma_r$  линии поглощения света может быть сравнимо с нерадиационным уширением  $\gamma$  или превышать его. В такой ситуации нельзя ограничиться линейным по взаимодействию электрона с электромагнитным полем приближением, а необходимо учитывать все порядки этого взаимодействия [5,7,9–26].

Результаты большинства наших предыдущих работ (кроме [20,21,23–26]) справедливы для сравнительно узких квантовых ям, когда выполняется условие

$$kd \ll 1, \quad (2)$$

где  $k$  — модуль волнового вектора световой волны,  $d$  — ширина квантовой ямы. Расчеты показывают, что в случае узких ям от ширины ямы зависит только положение пиков отражения и поглощения, но не их высота и форма. Во всех работах, соответствующих условию (2), не учитывалась разница показателей преломления, соответствующих веществам ямы и барьеров. Одна из целей настоящей работы — доказать, что в случае узких ям показатель преломления  $\nu$ , соответствующий веществу ямы, выпадает из окончательных результатов и остается только показатель  $\nu_1$ , характеризующий барьеры.

Однако в случае достаточно широких квантовых ям, когда

$$kd \geq 1, \quad (3)$$

разность показателей  $\nu$  и  $\nu_1$  необходимо учитывать, что следует из результатов упомянутых выше работ [20,21,23–26]. Подчеркнем, что ширина квантовой ямы  $d$  ограничена сверху требованием размерного квантования движения вдоль оси  $z$ .

Оценим роль кулоновского взаимодействия электронов и дырок. При вычислении волновых функций разделение переменных  $\mathbf{r}_\perp$  и  $z$  возможно, если кулоновское взаимодействие слабо влияет на движение частиц в плоскости  $x, y$ . Это происходит, если

$$a_{\text{exc}}^2 \gg a_H^2, \quad (4)$$

где  $a_{\text{exc}} = \hbar^2 \epsilon_0 / \mu e^2$  — радиус экситона Ванье–Мотта в отсутствие магнитного поля,  $\epsilon_0$  — статическая диэлектрическая проницаемость,  $\mu$  — приведенная эффективная масса,  $a_H = c\hbar/|e|H$  — магнитная длина. Используя

параметры для GaAs из [27], получаем

$$a_{\text{exc}} = 146 \text{ \AA}, \quad a_H^{\text{res}} = 57.2 \text{ \AA}, \quad (5)$$

где  $a_H^{\text{res}}$  — соответствует резонансному магнитному полю  $H_{\text{res}} = 20.2 \text{ Т}$ , удовлетворяющему условию (1) магнетополярного резонанса для электрона при  $j = 1$ . Согласно (5), получаем  $(a_H^{\text{res}}/a_{\text{exc}})^2 \cong 0.154$ , т.е. условие (4) выполняется. Влияние кулоновского взаимодействия на движение электронов и дырок в плоскости  $xu$  рассматривалось в [28].

Для того чтобы можно было пренебречь кулоновскими силами при описании движения частиц вдоль оси  $z$ , требуется выполнение условия

$$a_{\text{exc}} > d. \quad (6)$$

Проверим совместимость условий (6) и (3). Например, для GaAs ширина запрещенной зоны  $\hbar\omega_g \cong 1.52 \text{ eV}$ , частота возбуждающего света должна немного превышать эту величину. Частоте  $\omega_g$  соответствует модуль  $k = \omega_g v/c$  волнового вектора света, равный  $k = 2.60 \cdot 10^5 \text{ см}^{-1}$ . Используя (5), преобразуем (6) к виду

$$kd < 0.38.$$

Для того чтобы распространить применимость теории на случай ям большой ширины, когда кулоновские силы могут влиять на движение электронов и дырок вдоль оси  $z$ , не будем конкретизировать вид „огibaющей“ волновой функции  $\phi(z)$  экситона вплоть до получения окончательных результатов.

## 2. Возбуждающее поле

Рассматривается квантовая яма, ширина которой равна  $d$ . Диэлектрическая проницаемость внутри ямы  $\varepsilon = v^2$ , в барьерах  $\varepsilon_1 = v_1^2$  (см. рисунок), где  $v, v_1$  — коэффициенты преломления. Нормально к поверхности ямы (плоскости  $xu$ ) вдоль оси  $z$  распространяется возбуждающая электромагнитная волна, которой соот-

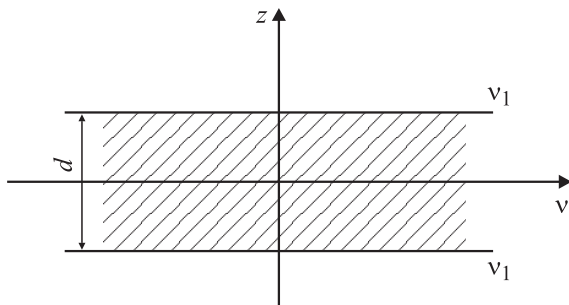


Схема полупроводниковой квантовой ямы.

ветствует электрическое поле

$$\mathbf{E}_0(\mathbf{r}, t) = E_0 \mathbf{e}_l \int_{-\infty}^{\infty} d\omega e^{-i\omega(t-zv_1/c)} \mathcal{D}_0(\omega) + \text{с.с.}, \quad (7)$$

где  $E_0$  — скалярная амплитуда,  $\mathbf{e}_l$  — вектор поляризации,  $c$  — скорость света в вакууме. Функция  $\mathcal{D}_0(\omega)$  определяет форму возбуждающего импульса и может быть выбрана в виде [5,17–19,21]

$$\mathcal{D}_0(\omega) = \frac{i}{2\pi} \left[ \frac{1}{\omega - \omega_l + i\gamma_{l1}/2} - \frac{1}{\omega - \omega_l - i\gamma_{l2}/2} \right].$$

При условии  $\gamma_{l1} = \gamma_{l2} = \gamma_l$  импульс симметричен [5,18,19,21], при  $\gamma_{l2} \rightarrow \infty$  несимметричен и имеет очень крутой фронт [16,17,19]. При  $\gamma_l \rightarrow 0$  получаем

$$\mathcal{D}_0(\omega) = \delta(\omega - \omega_l),$$

что соответствует монохроматическому облучению.

## 3. Электронные возбуждения в квантовой яме

Квантовая яма находится в нулевом или квантующем магнитном поле, перпендикулярном ее поверхности. Температура близка к нулю. В теории существенны межзонные матричные элементы  $\mathbf{p}_{cv}$  квазиимпульса, характеризующие переход электрона из валентной зоны в зону проводимости. Как и в предыдущих работах [5,7,16–22], будет использована следующая модель. Векторы  $\mathbf{p}_{cv}$  для двух сортов экситонов с индексами I и II имеют вид

$$\mathbf{p}_{cvI} = p_{cv}(\mathbf{e}_x - i\mathbf{e}_y)/\sqrt{2}, \quad \mathbf{p}_{cvII} = p_{cv}(\mathbf{e}_x + i\mathbf{e}_y)/\sqrt{2}, \quad (8)$$

где  $\mathbf{e}_x$  и  $\mathbf{e}_y$  — орты вдоль осей  $x$  и  $y$ ,  $p_{cv}$  — вещественная величина. Эта модель соответствует экситонам с участием тяжелых дырок в полупроводниках со структурой цинковой обманки, если ось  $z$  направлена вдоль оси четвертого порядка [29,30]. Результаты настоящей работы применимы также к экситонам  $\Gamma_6 \times \Gamma_7$  с участием дырок из валентной зоны, отщепленной спин-орбитальным взаимодействием, при произвольном направлении оси  $z$  относительно кристаллографических осей [31].

Если использовать векторы круговой поляризации возбуждающего света

$$\mathbf{e}_l = (\mathbf{e}_x \pm i\mathbf{e}_y)/\sqrt{2},$$

то выполняется свойство сохранения вектора поляризации

$$\sum_{I,II} \mathbf{p}_{cv}^* (\mathbf{e}_l \mathbf{p}_{cv}) = \sum_{I,II} \mathbf{p}_{cv} (\mathbf{e}_l \mathbf{p}_{cv}^*) = \mathbf{e}_l p_{cv}^2.$$

В теории существен вид волновой функции  $F_p(\mathbf{r})$  электронного возбуждения при  $\mathbf{r}_e = \mathbf{r}_h = \mathbf{r}$  в приближении эффективных масс, где  $\mathbf{r}_e(\mathbf{r}_h)$  — радиус-вектор электрона (дырки) [22]. Если возбуждение образовано парой

магнетополярон–дырка, волновые функции содержат фононные компоненты [8,32]. В этом случае величина  $F_\rho(\mathbf{r})$  определяется следующим образом: функцию слева умножаем на  $\langle 0|$ -фононный вакуум, и полагаем  $\mathbf{r}_e = \mathbf{r}_h = \mathbf{r}$ . Такой способ действия обоснован тем, что при рождении экситона светом или световой аннигиляцией экситона с участием магнетополярона существенно только то слагаемое в волновой функции полярона, которое не содержит фононов.

Предположим, что переменные  $\mathbf{r}_\perp$  и  $z$  разделяются, т.е. можно записать

$$F_\rho(\mathbf{r}) = Q_\pi(\mathbf{r}_\perp)\phi_\chi(z). \quad (9)$$

Разделение переменных возможно, если кулоновское взаимодействие электронов и дырок слабо влияет на движение этих частиц в плоскости  $xy$ .

#### 4. Плотность наведенного тока

Для того чтобы вычислить электрические поля слева и справа от квантовой ямы и поле внутри квантовой ямы, прежде всего необходимо вычислить плотность наведенного тока внутри ямы. Если использовать (8), то для средней наведенной плотности тока в квантовой яме получаем выражение [22]

$$j_{1\alpha} = \frac{ie}{8\pi^2} \sum_\rho \gamma_{r\pi}^0 \phi_\chi(z) \int_{-\infty}^{\infty} d\omega e^{-i\omega t} \int_{-d/2}^{d/2} dz' \phi_\chi(z') E_\alpha(z', \omega) \times \left( \frac{1}{\omega - \omega_\rho + i\gamma_\rho/2} + \frac{1}{\omega + \omega_\rho + i\gamma_\rho/2} \right), \quad (10)$$

где  $\rho$  — индекс электронного возбуждения в квантовой яме (объединяющий индексы  $\pi$  и  $\chi$ ),  $\hbar\omega_\rho$  — энергия возбуждения, отсчитанная от энергии основного состояния,  $\gamma_\rho$  — нерadiационное затухание.

Величина  $\gamma_{r\pi}^0$  входит в качестве множителя в выражение для радиационного затухания. В [22,23] радиационное затухание определено как

$$\tilde{\gamma}_{r\rho} = \gamma_{r\pi} |R_\chi(\omega_\rho v/c)|^2, \quad (11)$$

где

$$\gamma_{r\pi} = \gamma_{r\pi}^0/v, \quad (12)$$

$$R_\chi(k) = \int_{-d/2}^{d/2} dz \phi_\chi(z) e^{-ikz}. \quad (13)$$

Величины  $\gamma_{r\pi}$  для экситона, состоящего из магнетополярона и дырки, были вычислены в [7]. Для некоторых других возбуждений эти величины приведены в [22].

Формула (10) может быть получена из выражения (46) из [22], если учесть соотношение (12) и ограничить интегрирование по  $z'$  пределами от  $-d/2$  до  $d/2$ , т.е. пренебречь туннельным проникновением электронных возбуждений в барьер (что, строго говоря, соответствует квантовой яме бесконечной глубины).

#### 5. Уравнение для электрического поля внутри квантовой ямы

Используем соотношение

$$\mathbf{E}(z, t) = -\frac{1}{c} \frac{\partial \mathbf{A}(z, t)}{\partial t}, \quad \varphi = 0,$$

где  $\mathbf{A}(z, t)$  и  $\varphi$  — соответственно векторный и скалярный потенциалы. В случае модели (8) ток (10) является поперечным — нет компоненты вдоль  $z$ , наведенная плотность заряда равна нулю, отсюда следует условие  $\varphi = 0$ .

Исходим из уравнения для векторного потенциала (см., например, [33])

$$\frac{\partial^2 \mathbf{A}}{\partial z^2} - \frac{\varepsilon}{c^2} \frac{\partial^2 \mathbf{A}}{\partial t^2} = \frac{4\pi}{c} \mathbf{j}(z, t). \quad (14)$$

Электрическое поле запишем в виде<sup>1</sup>

$$\mathbf{E}(z, t) = \frac{e^i}{2\pi} \int_{-\infty}^{\infty} d\omega E^{-i\omega t} \mathcal{E}(z, \omega) + \text{с.с.} \quad (15)$$

Тогда с помощью (10), (14) и (15) получаем уравнение

$$\frac{\partial^2 \mathcal{E}(z, \omega)}{\partial z^2} + \frac{\omega^2 v^2}{c^2} \mathcal{E}(z, \omega) = \frac{\omega}{c} \sum_\rho \gamma_{r\pi}^0 \phi_\chi(z) \times \int_{-d/2}^{d/2} dz' \Phi_\chi(z') \mathcal{E}(z', \omega) \left( \frac{1}{\omega + \omega_\rho + i\gamma_\rho/2} + \frac{1}{\omega + \omega_\rho + i\gamma_\rho} \right). \quad (16)$$

#### 6. Случай двух близко расположенных уровней. Электрическое поле внутри квантовой ямы

Ограничим сумму в (16) по номерам возбуждений двумя слагаемыми:  $i = 1$  и  $2$ . Это допустимо, если уровни 1 и 2 расположены достаточно близко друг к другу, а прочие уровни — далеко от них (на расстояниях  $\Delta\omega$ ), так что

$$\gamma_{1(2)} \ll |\Delta\omega|, \quad \gamma_{r1(2)} \ll |\Delta\omega|.$$

Рассмотрим частный случай, когда функции  $\phi_i(z)$  для двух возбуждений совпадают, т.е.

$$\phi_1(z) = \phi_2(z) = \phi(z). \quad (17)$$

К таким случаям относятся два близко расположенных уровня экситона, образовавшиеся в результате магнетополяронного эффекта [6–8]. При условии (17) уравнение (16) приобретает форму

$$\frac{\partial^2 \mathcal{E}(z, \omega)}{\partial z^2} + k^2 \mathcal{E}(z, \omega) = 2k_0 \phi(z) M(\omega) \mathcal{B}(\omega), \quad (18)$$

<sup>1</sup> Разбиение правой части (15) на основной и сопряженный вклады проводим так, чтобы для возбуждающего поля получить выражение (26) (см. далее).

где введены обозначения

$$k = \frac{\omega v}{c}, \quad k_0 = \frac{\omega}{c}, \quad M(\omega) = \int_{-d/2}^{d/2} dz \phi_\chi(z) \mathcal{E}(z, \omega),$$

$$\mathcal{B}(\omega) = \sum_{i=1,2} \frac{\gamma_{ri}^0}{2} \left( \frac{1}{\omega - \omega_i + i\gamma_i/2} + \frac{1}{\omega + \omega_i + i\gamma_i/2} \right). \quad (19)$$

Согласно [34], решение уравнения

$$\frac{\partial^2 y}{\partial z^2} + k^2 y = f(z)$$

имеет вид

$$y = C_1 \cos kz + C_2 \sin kz + \frac{1}{k} \int_{z_0}^z dz' f(z') \sin k(z - z'). \quad (20)$$

Используя (20), получаем, что Фурье-образ электрического поля внутри квантовой ямы равен

$$\mathcal{E}(z, \omega) = A e^{ikz} + B e^{-ikz} - \frac{i}{v} \mathcal{F}_k(z) M(\omega) \mathcal{B}(\omega), \quad (21)$$

где введено обозначение

$$\mathcal{F}_k(z) = e^{ikz} \int_{-d/2}^z dz' \phi(z') e^{-ikz'} + e^{-ikz} \int_z^{d/2} dz' \phi(z') e^{ikz'}. \quad (22)$$

Умножим (21) на  $\Phi(z)$  и проинтегрируем в пределах от  $-d/2$  до  $d/2$ . Получим уравнение для величины  $M(\omega)$ , решение которого выглядит как

$$M(\omega) = \frac{AR^*(k) + BR(k)}{1 + (i/v) \mathcal{B}(\omega) J(k)}, \quad (23)$$

где

$$J(k) = \int_{-d/2}^{d/2} dz \Phi(z) \mathcal{F}_k(z),$$

$R(k)$  определено в (13). Наконец, подставив (23) в (21), находим, что поле внутри квантовой ямы равно

$$\begin{aligned} \mathcal{E}(z, \omega) &= A e^{ikz} + B e^{-ikz} - \frac{i}{v} \mathcal{F}_k(z) \mathcal{B}(\omega) \\ &\times \frac{AR^*(k) + BR(k)}{1 + (i/v) \mathcal{B}(\omega) J(k)}, \end{aligned} \quad (24)$$

где  $A$  и  $B$  — константы, которые надлежит определить, используя граничные условия на краях квантовой ямы.

## 7. Электрические поля слева, справа и внутри квантовой ямы

Очевидно, что электрическим полям слева и справа за пределами квантовой ямы соответствуют Фурье-компоненты

$$\begin{aligned} \mathcal{E}_{\text{left}}(z, \omega) &= \mathcal{E}_0(z, \omega) + \Delta \mathcal{E}_{\text{left}}(z, \omega), \\ \Delta \mathcal{E}_{\text{left}}(z, \omega) &= L e^{-ik_1 z}, \quad \mathcal{E}_{\text{right}}(z, \omega) = R e^{ik_1 z}, \end{aligned} \quad (25)$$

где  $k_1 = \omega v_1/c$ ,  $L$  и  $R$  — константы,

$$\mathcal{E}_0(z, \omega) = 2\pi E_0 \mathcal{D}_0(\omega) e^{ik_1 z}. \quad (26)$$

На границах  $z = -d/2$  и  $z = d/2$  должны быть непрерывны магнитное поле и тангенциальная составляющая электрического поля. Поскольку в случае использования модели (8) продольные компоненты полей (вдоль оси  $z$ ) отсутствуют, граничные условия можно записать в виде четырех уравнений:

$$\begin{aligned} \mathcal{E}_{\text{left}}(-d/2, \omega) &= \mathcal{E}(-d/2, \omega), \\ \mathcal{E}_{\text{right}}(d/2, \omega) &= \mathcal{E}(d/2, \omega), \\ \frac{d\mathcal{E}_{\text{left}}(z, \omega)}{dz} \Big|_{z=-d/2} &= \frac{d\mathcal{E}(z, \omega)}{dz} \Big|_{z=-d/2}, \\ \frac{d\mathcal{E}_{\text{right}}(z, \omega)}{dz} \Big|_{z=d/2} &= \frac{d\mathcal{E}(z, \omega)}{dz} \Big|_{z=d/2}. \end{aligned} \quad (27)$$

Подставив (24) и (25) в (27), решаем систему четырех уравнений относительно констант  $A$ ,  $B$ ,  $L$  и  $R$ . В итоге получаем окончательные выражения для Фурье-образов электрических полей

$$\begin{aligned} \mathcal{E}_{\text{left}}(z, \omega) &= 2\pi E_0 \mathcal{D}_0(\omega) e^{ik_1 z} + 2\pi E_0 \mathcal{D}_0(\omega) e^{-ik_1 z} Z^{-1} \\ &\times e^{-ik_1 d} \{ (1 - e^{-2ikd})(\xi^2 - 1) - ig(\omega) [e^{-ikd}((\xi - 1)^2 \\ &\times R^2(k) + (\xi + 1)^2 R^{*2}(k)) + 2(\xi^2 - 1)|R(k)|^2] \}, \end{aligned} \quad (28)$$

$$\begin{aligned} \mathcal{E}_{\text{right}}(z, \omega) &= 2\pi E_0 \mathcal{D}_0(\omega) e^{ik_1 z} Z^{-1} e^{-i(k+k_1)d} \\ &\times \xi [1 - ig(\omega)|R(k)|^2], \end{aligned} \quad (29)$$

$$\begin{aligned} \mathcal{E}(z, \omega) &= 4\pi E_0 \mathcal{D}_0(\omega) Z^{-1} e^{-i(k+k_1)d/2} \{ e^{ikz} [e^{-ikd}(\xi + 1) \\ &+ ig(\omega)(\xi - 1)R^2(k) + e^{-ikz}(\xi - 1)[1 - ig(\omega)|R(k)|^2] \\ &- i\mathcal{F}_k(z)g(\omega)[e^{-ikd}(\xi + 1)R^*(k) + (\xi - 1)R(k)] \}, \end{aligned} \quad (30)$$

где введены обозначения

$$\xi = v/v_1, \quad g(\omega) = \sum_{i=1,2} \frac{(\gamma_{ri}^0/2v)L_i(\omega)}{1 + iJ(k) \sum_{i=1,2} (\gamma_{ri}^0/2v)L_i(\omega)}, \quad (31)$$

$$L_i(\omega) = \frac{1}{\omega - \omega_i + i\gamma_i/2} + \frac{1}{\omega + \omega_i + i\gamma_i/2}, \quad (32)$$

$$\begin{aligned} Z &= e^{-2ikd}(\xi + 1)^2 - (\xi - 1)^2 + ig(\omega) \{ e^{-ikd}(\xi^2 - 1) \\ &\times [R^2(k) + R^{*2}(k)] + 2(\xi - 1)^2 |R(k)|^2 \}. \end{aligned} \quad (33)$$

## 8. Предельный случай отсутствия электронных возбуждений

Положив

$$\gamma_{r1}^0 = \gamma_{r2}^0 = 0,$$

переходим к ситуации, когда свет, нормально падающий на поверхность плоскопараллельной пластинки, отражается от нее из-за разности коэффициентов преломления среды и пластины. Подчеркнем, что в этом случае нет ограничений на толщину  $d$  пластины по отношению к длине световой волны. С помощью (28)–(30) получаем следующие результаты для Фурье-образов электрических полей (ср. с формулами из [35]):

$$\begin{aligned} \mathcal{E}_{\text{left}}^0(z, \omega) &= 2\pi E_0 \mathcal{D}_0(\omega) e^{ik_1 z} + 2\pi E_0 \mathcal{D}_0(\omega) e^{-ik_1 z} \\ &\times Z_0^{-1} e^{ik_1 d} (1 - e^{-i2kd}) (\xi^2 - 1), \end{aligned} \quad (34)$$

$$\mathcal{E}_{\text{right}}^0(z, \omega) = 8\pi E_0 \mathcal{D}_0(\omega) e^{ik_1 z} Z_0^{-1} \xi e^{-i(k+k_1)d}, \quad (35)$$

$$\begin{aligned} \mathcal{E}^0(z, \omega) &= 4\pi E_0 \mathcal{D}_0(\omega) e^{-i(k+k_1)d/2} Z_0^{-1} \\ &\times [e^{ikz} e^{-ikd} (\xi + 1) + e^{-ikz} (\xi - 1)], \end{aligned} \quad (36)$$

где

$$Z_0 = e^{-2ikd} (\xi + 1)^2 - (\xi - 1)^2.$$

Обратим внимание на то, что формулы (34)–(36) могут быть использованы для исследования прохождения и отражения световых импульсов от плоскости прозрачных диэлектрических пластин, если функция  $\mathcal{D}_0(\omega)$  описывает продолжительность и форму возбуждающего импульса.

## 9. Предельный случай равных коэффициентов преломления барьеров и квантовой ямы

В случае  $\nu = \nu_1$  из (28)–(30) получаем результаты

$$\begin{aligned} \mathcal{E}_{\text{left}}^{\nu=\nu_1}(z, \omega) &= 2\pi E_0 \mathcal{D}_0(\omega) e^{ikz} \\ &- 2\pi E_0 \mathcal{D}_0(\omega) e^{-ikz} g(\omega) R^{*2}(k), \end{aligned} \quad (37)$$

$$\begin{aligned} \mathcal{E}_{\text{right}}^{\nu=\nu_1}(z, \omega) &= 2\pi E_0 \mathcal{D}_0(\omega) e^{ikz} \\ &- 2\pi E_0 \mathcal{D}_0(\omega) e^{ikz} g(\omega) |R(k)|^2, \end{aligned} \quad (38)$$

$$\mathcal{E}^{\nu=\nu_1}(z, \omega) = 2\pi E_0 \mathcal{D}_0(\omega) [e^{ikz} - i\mathcal{F}_k(z) g(\omega) R^*(k)]. \quad (39)$$

Используя определение (31) функции  $g(\omega)$ , а также соотношение

$$J(k) = |R(k)|^2 + iq(k), \quad q(k=0) = 0,$$

из (37) и (38) получим

$$\mathcal{E}_{\text{left(right)}}^{\nu=\nu_1}(z, \omega) = \mathcal{E}_0(z, \omega) + \Delta \mathcal{E}_{\text{left(right)}}^{\nu=\nu_1}(z, \omega), \quad (40)$$

$$\Delta \mathcal{E}_{\text{left}}^{\nu=\nu_1}(z, \omega) = 2\pi E_0 \tilde{\mathcal{D}}_v(\omega) e^{-i(kz-\alpha)}, \quad (41)$$

$$\Delta \mathcal{E}_{\text{right}}^{\nu=\nu_1}(z, \omega) = 2\pi E_0 \tilde{\mathcal{D}}_v(\omega) e^{ikz}, \quad (42)$$

где

$$e^{i\alpha} = \frac{R^*(k)}{R(k)},$$

$$\begin{aligned} \tilde{\mathcal{D}}_v(\omega) &= -i\mathcal{D}_0(\omega) \\ &\times \frac{(\tilde{\gamma}_{r1}/2)L_1(\omega) + (\tilde{\gamma}_{r2}/2)L_2(\omega)}{1 + i[(\tilde{\gamma}_{r1}/2)L_1(\omega) + (\tilde{\gamma}_{r2}/2)L_2(\omega)] - \Delta_1 L_1(\omega) - \Delta_2 L_2(\omega)}, \end{aligned} \quad (43)$$

$$\tilde{\gamma}_{ri} = \frac{\gamma_{ri}^0}{\nu} |R(k)|^2, \quad (44)$$

что совпадает с определением (11) в приближении  $\omega = \omega_i$ ,

$$\Delta_i = \frac{\gamma_{ri}^0}{2\nu} q(k). \quad (45)$$

Заметим, что в выражении (32) для  $L_i(\omega)$  следует пренебречь вторым членом (его учет был бы превышением точности), что оправдывает упомянутое приближение  $\omega \simeq \omega_i$ .

Чтобы выяснить физический смысл величин  $\tilde{\gamma}_{ri}$  и  $\Delta_i$ , перейдем к случаю одного уровня, для чего положим  $\gamma_{r2}^0 = 0$ . Пренебрегая нерезонансным членом из  $L_1(\omega)$ , получаем

$$\tilde{\mathcal{D}}_{\nu_1}(\omega) = -i\mathcal{D}_0(\omega) \frac{\tilde{\gamma}_{r1}/2}{\omega - (\omega_1 + \Delta_1) + i(\gamma_1 + \tilde{\gamma}_{r1})/2}, \quad (46)$$

откуда ясно, что  $\tilde{\gamma}_{r1}$  — радиационное время жизни,  $\Delta_1$  — поправка к энергии возбуждения. Однако если два уровня расположены достаточно близко друг к другу, они влияют друг на друга. Выражение (43) можно преобразовать к виду

$$\tilde{\mathcal{D}}_v(\omega) = -i\mathcal{D}_0(\omega) \left( \frac{\hat{\gamma}_{r1}/2}{\omega - \Omega_1 + iG_1/2} + \frac{\hat{\gamma}_{r2}/2}{\omega - \Omega_2 + iG_2/2} \right), \quad (47)$$

где  $\hat{\gamma}_{ri}$ ,  $\Omega_i$  и  $G_i$  — „перенормированные“ величины.

В случае узких квантовых ям при условии  $kd \ll 1$  имеем

$$R(k) \simeq \int_{-d/2}^{d/2} dz \phi(z) = C, \quad \mathcal{F}_k(z) \simeq C, \quad J(k) \simeq C^2,$$

$$q(k) \simeq 0, \quad \Delta_1 \simeq \Delta_2 \simeq 0, \quad \tilde{\gamma}_{ri} \simeq \frac{\gamma_{ri}^0}{\nu} C^2, \quad e^{i\alpha} = 1. \quad (48)$$

При условии  $\nu = \nu_1$  для узких квантовых ям получаем из (43)

$$\tilde{\mathcal{D}}_{nv}(\omega) = -i\mathcal{D}_0(\omega) \frac{C^2 \sum_{i=1,2} (\gamma_{ri}^0/2\nu) L_i}{1 + iC^2 \sum_{i=1,2} (\gamma_{ri}^0/2\nu) L_i}, \quad (49)$$

где индекс  $n$  соответствует узкой квантовой яме.

## 10. Узкая квантовая яма. Различные коэффициенты преломления в квантовой яме и барьерах

Используем соотношения (48) и полагаем

$$e^{-ikd} \simeq e^{-ik_1d} \simeq 1.$$

Тогда из (28), (29) получаем

$$\begin{aligned} \mathcal{E}_{n\text{ left}}(z, \omega) &= 2\pi E_0 \mathcal{D}_0(\omega) e^{ik_1z} \\ &- 2\pi i E_0 \mathcal{D}_0(\omega) e^{-ik_1z} \frac{g_n(\omega) C^2 \xi}{1 + i g_n(\omega) C^2 (\xi - 1)}, \end{aligned} \quad (50)$$

$$\mathcal{E}_n(z, \omega) = 2\pi E_0 \mathcal{D}_0(\omega) \frac{1 - i g_n(\omega) C^2}{1 + i g_n(\omega) C^2 (\xi - 1)} = \text{const}, \quad (51)$$

$$\mathcal{E}_{n\text{ right}}(z, \omega) = 2\pi E_0 \mathcal{D}_0(\omega) e^{ik_1z} \frac{1 - i g_n(\omega) C^2}{1 + i g_n(\omega) C^2 (\xi - 1)}, \quad (52)$$

где

$$g_n(\omega) = \sum_{i=1,2} \frac{(\gamma_{ri}^0/2\nu)L_i}{1 + iC^2 \sum_{i=1,2} (\gamma_{ri}^0/2\nu)L_i}. \quad (53)$$

Подставив (53) в (50)–(52) и совершив элементарные преобразования, получим для полей слева и справа от квантовой ямы решение в виде (40), где

$$\Delta \mathcal{E}_{\text{left}n}(z, \omega) = 2\pi E_0 \tilde{\mathcal{D}}_{nv_1}(\omega) e^{-k_1z}, \quad (54)$$

$$\Delta \mathcal{E}_{\text{right}n}(z, \omega) = 2\pi E_0 \tilde{\mathcal{D}}_{nv_1}(\omega) e^{ik_1z}, \quad (55)$$

а для поля внутри ямы

$$\mathcal{E}_n(z, \omega) = \mathcal{E}_0(z=0, \omega) + 2\pi E_0 \tilde{\mathcal{D}}_{nv_1}(\omega), \quad (56)$$

где

$$\tilde{\mathcal{D}}_{nv_1}(\omega) = -i \mathcal{D}_0(\omega) C^2 \sum_{i=1,2} \frac{(\gamma_{ri}^0/2\nu_1)L_i}{1 + iC^2 \sum_{i=1,2} (\gamma_{ri}^0/2\nu_1)L_i}, \quad (57)$$

что отличается от результата (49) для узких квантовых ям при  $\nu = \nu_1$  заменой  $\nu$  на  $\nu_1$ . Это означает, что при  $\nu \neq \nu_1$  в случае узких квантовых ям ( $kd \ll 1$ ) в выражение для радиационного затухания входит коэффициент  $\nu_1$  преломления барьеров, а коэффициент  $\nu$ , характерный для самой квантовой ямы, вообще не фигурирует! Физический смысл этого результата понятен, поскольку при условии  $kd \ll 1$  мы можем перейти к пределу бесконечно узкой квантовой ямы ( $d \rightarrow 0$ ), когда вещество квантовой ямы вообще отсутствует, но сохраняется наведенный ток, соответствующий переходам с рождением экситонов.

Таким образом доказано, что результаты, полученные нами ранее для узких квантовых ям для случаев монохроматического и импульсного облучения [5,7,16–19], справедливы не только при условии  $\nu = \nu_1$ , но и при

$\nu \neq \nu_1$ , поскольку в формулы входит только коэффициент преломления барьеров.<sup>2</sup>

## 11. Коэффициенты отражения, прохождения и поглощения при импульсном облучении

Поток энергии  $\mathbf{S}(p)$ , где  $p = t - z\nu_1/c$ , соответствующий электрическому полю возбуждающего импульса, равен

$$\mathbf{S}(p) = \mathbf{e}_z \frac{c\nu_1}{4\pi} E_0^2(z, t) = \mathbf{e}_z S_0 P(p), \quad S_0 = \frac{c\nu_1}{2\pi} E_0^2. \quad (58)$$

Проходящий поток, т. е. поток справа от квантовой ямы, имеет вид

$$\mathbf{S}_{\text{right}}(p) = \mathbf{e}_z \frac{c\nu_1}{4\pi} E_{\text{right}}^2(z, t) = \mathbf{e}_z S_0 \mathcal{T}(p). \quad (59)$$

Для отраженного потока (слева от квантовой ямы) получаем

$$\mathbf{S}_{\text{left}}(s) = -\mathbf{e}_z \frac{c\nu_1}{4\pi} (\Delta E_{\text{left}}(z, t))^2 = -\mathbf{e}_z S_0 \mathcal{R}(s), \quad (60)$$

где  $s = t + z\nu_1/c$ .

Безразмерные функции  $\mathcal{T}(p)$  и  $\mathcal{R}(s)$  определяют доли прошедшей и отраженной энергии возбуждающего импульса.

Поглощение в зависимости от времени определяется безразмерным коэффициентом

$$\mathcal{A}(t) = P(t) - \mathcal{T}(t) - \mathcal{R}(t), \quad (61)$$

если время прохождения импульса сквозь квантовую яму  $t$  мало по сравнению с продолжительностью импульса  $\Delta t$  (или, что то же самое, длина импульса вдоль оси  $z$  велика по сравнению с шириной ямы  $d$ ). Проверим, что этот критерий выполняется для сравнительно широких квантовых ям и импульсов, длительность которых сравнима с величиной  $\hbar/\Delta\omega$ , где  $\Delta\omega$  — расстояние между двумя поляронными уровнями. Выберем, согласно [5],  $\Delta\omega = 0.0065$  eV, чему соответствует продолжительность импульса  $\Delta t = \hbar/\Delta\omega = 0.1$  ps. Время прохождения импульса сквозь яму толщиной  $d = 300$  Å  $t \simeq d\nu/c = 10^{-4}\nu$  ps, т. е. условие  $t \ll \Delta t$  выполняется и определение (61) применимо.

Заметим, что при импульсном облучении интегральное поглощение (проинтегрированное по времени от  $t = -\infty$  до  $t = \infty$ ) отсутствует, если нерadiационное затухание  $\gamma = 0$ . В случае монохроматического облучения коэффициенты  $\mathcal{T}$ ,  $\mathcal{R}$  и  $\mathcal{A}$  являются константами и  $\mathcal{A} = 0$  при  $\gamma = 0$ .

В работах [20,21,23–26] рассматриваются отражение и поглощение света в сравнительно широких квантовых

<sup>2</sup> В работе [26] рис. 3,а и 5 соответствуют случаю узких квантовых ям ( $kd = 0$ ). Зависимость результатов от величины  $\xi = \nu/\nu_1$  определяется только зависимостью таковых от коэффициента  $\nu_1$  при фиксированном  $\nu$ .

ямах ( $kd \geq 1$ ). Результаты в виде формул и графиков получены с использованием огибающих волновых функций  $\phi_\chi(z)$  без учета кулоновского взаимодействия электронов и дырок. В настоящей работе вычисления доведены до окончательных формул без конкретизации вида огибающих волновых функций с учетом разности коэффициентов преломления  $\nu$  ямы и  $\nu_1$  барьеров.

## Список литературы

- [1] H. Stolz. Time resolved light scattering from excitons. Springer Tracts in Modern Physics. Springer, Berlin (1994).
- [2] J. Stah. Ultrafast spectroscopy of semiconductors and semiconductor nanostructures. Springer, Berlin (1996).
- [3] H. Hang, S.W. Koch. Quantum theory of the optical and electronic properties of semiconductors. World Scientific, Singapore (1993).
- [4] Л.Е. Воробьев, Е.Л. Ивченко, Д.А. Фирсов, В.А. Шалыгин. Оптические свойства наноструктур. Наука, СПб (2001).
- [5] D.A. Contreras-Solorio, S.T. Pavlov, L.I. Korovin, I.G. Lang. Phys. Rev. B **62**, 16 815 (2000); cond-mat/0002229.
- [6] E.J. Johnson, D.M. Larsen. Phys. Rev. Lett. **16**, 655 (1966).
- [7] И.Г. Ланг, Л.И. Коровин, Д.А. Контрерас-Солорио, С.Т. Павлов. ФТТ **44**, 2084 (2002); cond-mat/0001248.
- [8] И.Г. Ланг, Л.И. Коровин, С.Т. Павлов. ФТТ **47**, 1704 (2005); cond-mat/0411692.
- [9] L.C. Andreani, F. Tassone, F. Bassani. Solid State Commun. **77**, 641 (1991).
- [10] Е.Л. Ивченко. ФТТ **33**, 2388 (1991).
- [11] Е.Л. Ивченко, А.В. Кавокин. ФТТ **34**, 6, 1815 (1992).
- [12] L.C. Andreani. Confined electrons and photons / Eds. E. Burstein, C. Weisbuch. Plenum Press, N.Y. (1995).
- [13] F. Tassone, F. Bassani, L.C. Andreani. Phys. Rev. B **45**, 11, 6023 (1992).
- [14] L.C. Andreani, G. Pansarini, A.V. Kavokin, M.R. Vladimirova. Phys. Rev. B **57**, 4670 (1998).
- [15] I.G. Lang, V.I. Belitsky, M. Cardona. Phys. Status Solidi A **164**, 307 (1997).
- [16] I.G. Lang, V.I. Belitsky. Phys. Lett. A **245**, 3–4, 329 (1998).
- [17] I.G. Lang, V.I. Belitsky. Solid State Commun. **107**, 10, 577 (1998).
- [18] Л.И. Коровин, И.Г. Ланг, Д.А. Контрерас-Солорио, С.Т. Павлов. ФТТ **42**, 2230 (2000); cond-mat/0006364.
- [19] И.Г. Ланг, Л.И. Коровин, Д.А. Контрерас Солорио, С.Т. Павлов. ФТТ **43**, 1117 (2001); cond-mat/0004178.
- [20] Л.И. Коровин, И.Г. Ланг, Д.А. Контрерас-Солорио, С.Т. Павлов. ФТТ **43**, 2091 (2001); cond-mat/0104262.
- [21] Л.И. Коровин, И.Г. Ланг, Д.А. Контрерас-Солорио, С.Т. Павлов. ФТТ **44**, 1681 (2002); cond-mat/0203390.
- [22] И.Г. Ланг, Л.И. Коровин, С.Т. Павлов. ФТТ **46**, 1706 (2004); cond-mat/0311180.
- [23] И.Г. Ланг, Л.И. Коровин, С.Т. Павлов. ФТТ **48**, 1693 (2006); cond-mat/0403519; S.T. Pavlov, I.G. Lang, L.I. Korovin. Proc. XII Int. Symp. „Nanostructures: science and technology-2004“. Ioffe Institute, St. Petersburg (2004). P. 284.
- [24] Л.И. Коровин, И.Г. Ланг, С.Т. Павлов. ФТТ **48**, 2208 (2006); cond-mat/0605650.
- [25] Л.И. Коровин, И.Г. Ланг, С.Т. Павлов. ФТТ **49**, 1893 (2007); cond-mat/07041697.
- [26] Л.И. Коровин, И.Г. Ланг, С.Т. Павлов. ФТТ **50**, 328 (2008).
- [27] A. Garsia-Cristobal, A. Cantarero, C. Trallero-Giner. Phys. Rev. B **49**, 13 430 (1994).
- [28] И.В. Лернер, Ю.Е. Лозовик. ЖЭТФ **78**, 3, 1167 (1980).
- [29] J.M. Luttinger, W. Kohn. Phys. Rev. **97**, 869 (1955).
- [30] И.М. Цидильковский. Зонная структура полупроводников. Наука, М. (1978).
- [31] И.Г. Ланг, Л.И. Коровин, С.Т. Павлов. ЖЭТФ **133**, 1169 (2008); cond-mat/0703051.
- [32] I.G. Lang, V.I. Belitsky, A. Cantarero, L.I. Korovin, S.T. Pavlov, M. Cardona. Phys. Rev. B **54**, 24, 17 768 (1996).
- [33] И.Е. Тамм. Основы теории электричества. Наука, М. (1966). С. 439.
- [34] В.И. Смирнов. Курс высшей математики. М. (1974). Т. II. С. 85.
- [35] Л.Д. Ландау, Е.М. Лифшиц. Электродинамика сплошных сред. Наука, М. (1982). С. 412.